维普资讯 http://www.cqvip.com

6987(3)

表4. 耻骨结节，髂耻连线中、内1／3分界点至隐股点距离（左侧82、右侧80）

耻骨结节至隐股点	左：	33.4±0.4（25.6～43.0）mm
	右：	33.3±0.3（23.1～45.0）mm
髂耻连线中、内1/3交点至隐股点	左：	32.7±0.8（6.0～59.0）mm
	右：	32.4±0.8（6.5～58.0）mm

3.陪应环，等.大隐静脉曲张手术意外4例，实用外科杂志 1981；（1）：298.

4.Malati, J. et al.Iatrogenic Vascular injuries J Cardioves surg. 1979; 20: 169.

5.刘志苏.大隐静脉曲张复发25例分析，实用外科杂志 1984（5）262.

6.苏鸿森.国人大隐静脉上段解剖学观察，解剖学报 1965；8（1）：61.

7.郑华.隐静脉及其主要容纳支的观察，福建医学院学报 1961；（1～2）：48～53.

8.陈昌富，等.大隐静脉属支的观察，解剖学报 1966；9（2）：273.

9.王鹤鸣，等.大隐静脉的应用解剖学，解剖学杂志 1987；10（2）：120.

10.曾志诚.隐股点应用解剖学，中国临床解剖学杂志 1990；8（3）：161.

Clinical Applied Anatomy of the Saphenous Vein

Zheng Zhicheng, TuLing, Huang Quwu, Yaug Keqiu, Hu Jianquang
Department of Human Anatomy
Hunan Medical University

Abstract: The great saphenous vein was dissected in 164 sides of 82 cadavers for clinical application. The forms of main rtunk of this vein, its variation, and various types of its tributaries were observed. The patterns of the tributaries of the great saphenous vein may be classified into 5 types and 12 subtypes according to the number of veins and manner of their combination. Type II (42.68%), in which two tributaries are combined, occurs more often than anyone of the other types. In addition, the location of the saphenofemoral junction in these cadavers were topographically observed.

Key words: Great saphenous vein; Duplication of the great saphenous vein; Sapheno-femoral junction

5—7

胸脊柱关节突关节的半月板样结构

上海医科大学 张大江 刘俊 蒋征琪 李聆 范文姬 张新潮 彭裕文
（上海，邮政编码200032）

R322.72

〔摘要〕对18具成年尸体胸段脊柱的关节突关节进行大体和组织学观察。大体形状上可分为月牙形（41.35±2.38%）、半月形（14.25±1.81%）、叶状形（35.50±2.31%）。光镜下观察其织组结构分为纤维型（61.68±2.35%）、薄膜型（26.40±2.13%）、脂肪型（1.86±0.65%）以及不规则型（1.66±0.62%）。半月板样结构分布在关节腔各部，其中以内、外侧为多。各型在不同节段均有分布，但薄膜型在上、下胸段较中胸段出现率为高。半月板样结构实际上是由滑膜返折所形成

半月板；关节；胸脊柱；结构；

维普资讯 http://www.cqvip.com

的。有8.40±1.36%的关节内未发现此种结构。

〔关键词〕半月板样结构；胸脊柱；关节突关节。

据文献报道，腰脊柱关节突关节内可见滑膜返折入关节腔，其功能类似于半月板，被称为"半月板样结构"〔1-5〕。胸脊柱中是否也有类似结构存在，其大体解剖及组织学构型如何，还未见研究报道。为此，我们对胸脊柱中半月板样结构进行了解剖学及组织学的观察。

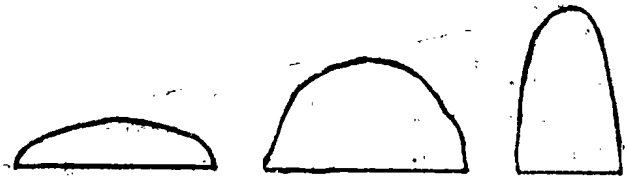
材料与方法

18具成年尸体，其中2具为新鲜尸体，16具经甲醛固定；男性尸体8具，女性尸体10具。剔除关节周围肌肉及软组织后，将关节逐个从脊柱上完整锯下，共428个。再经各关节中央矢状面锯开。大体观察后取典型者做成组织切片，经HE染色后在光镜下观察。

结果

一、半月板样结构的大体形态

半月板样结构基底部均与关节囊内层相连，体部伸入关节腔中。从形状上可分为月牙形、半月形和叶状形三种。月牙形是指基底较宽，体部伸入关节腔内较浅者，形似月牙。半月形指基底较宽，体部伸入关节腔内较深者，丰满似半月。叶状形指基底较窄者，形如树叶。

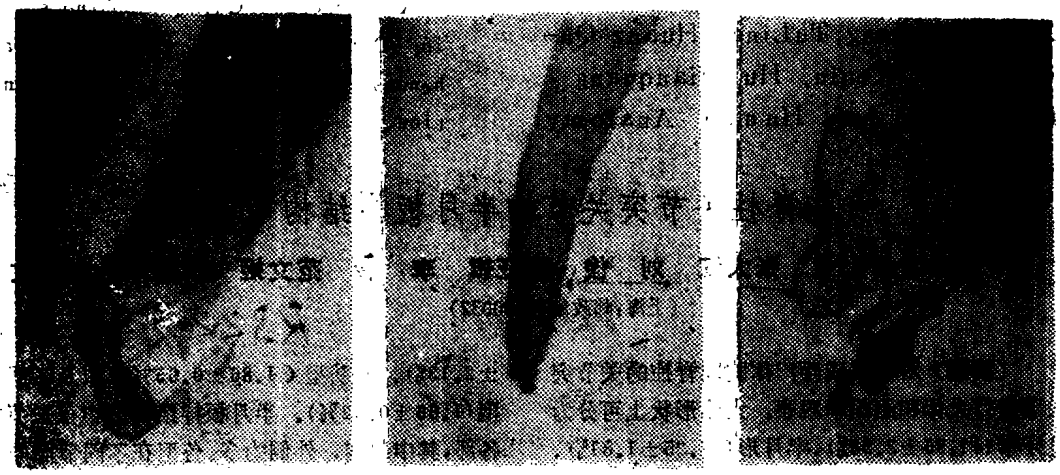


月牙形　41.35±2.38%　　半月形　14.25±1.84%　　叶状形　35.50±2.31%

图1.半月板样结构的大体形态及百分比

二、半月板样结构的组织分型

光镜下半月板样结构可分为纤维型、薄膜型及脂肪型三种。纤维型主要由疏松结缔组织组成，少量脂肪细胞分布其中，表面覆以单层扁平上皮构成的滑膜组织。肉眼观察此型灰白色，较厚而韧。薄膜型内容物由较少疏松结缔组织构成，一般无脂肪细胞分布。肉眼呈半透明薄膜状，质较脆。脂肪型主要由脂肪组织构成，其间可见血管及结缔组织，脂肪组织被纤维素分隔成团。其外观较肥厚，呈黄白色，质松软。另外有1.66±0.62%的半月板样结构的组织学形态不规则。所有的半月板样结构均外被滑膜，未见软骨样结构。



纤维型　61.68±2.31　　薄膜型　26.40±2.13%　　脂肪型　1.86±0.65%

图2.半月板样结构的组织分型及百分比

维普资讯 http://www.cqvip.com

三、各型半月板样结构的位置及节段分布

半月板样结构在关节内不同部位分布情况有所不同。其中外侧份及内侧份出现率较高，内、外侧份之和达43.8±2.40%。

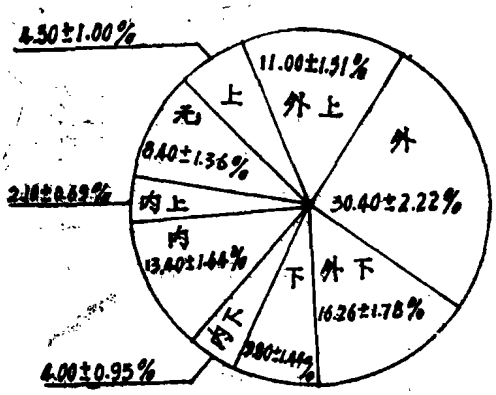


图3.半月板样结构在关节内的位置配布

各种组织型在胸脊柱不同节段所占百分率不同，其中以薄膜型在上、下胸段出现率著较中胸段为高。并且有8.40±1.36%的关节内发现此种结构。

讨　论

一、半月板样结构的组织构造和发生

半月板样结构的组织构造及分型，前人已做了许多工作。Tondury〔1〕认为它由滑膜及脂肪构成。Zaccheo等〔2〕观察到了纤维软骨型。颜昌义〔3〕把它分为五型：纤维型、滑膜一纤维型、脂肪型、滑膜型及脂肪一体维型。Enqel等〔4〕观察到所有的半月板样结构外面都包裹一层滑膜。我们所见与Enqel一致，而未见Zaccheo所观察到的纤维软骨型。因此，半月板样结构可以认为是一种滑膜折返，滑膜之间包含着脂肪、疏松结缔组织、血管、基质等内容物。Enqec等观察了胚胎中关节突关节内容物，提出半月板样结构由关节腔内间充质分化而来，而脂肪组织、疏松结缔组织等是不同分化程度的产物。leloin等〔5〕通过实验进一步证实间充质首先分化为脂肪组织。可以推想，在机械外力作用下，许多脂肪细胞被分解消耗，或发生退行性变，脂肪组织就转变为疏松结缔组织，组织型别可表现为纤维型和薄膜型。

二、胸段脊柱半月板样结构的功能

学者们对半月板样结构的功能看法大致相同。它可增加关节面之间的接触，增强关节运动时的稳定性。胸段脊柱半月板样结构形态上的特点与胸段脊柱独特的功能特点呈现一致性。胸脊柱由于肋骨的固定作用，运动受到限制，而旋转运动相对较多。表现在关节突关节中，该结构出现在内、外侧机率较多；同时半月板样结构发育较差，表现为面积较小，与颈、腰段相比阴性率高。临床上见到的背部肌肉反射性挛痉所致的“急性固锁”，可能与胸脊柱关节突关节内的半月板样结构嵌顿有关。

参考文献

1. Tondury, G. Anatomie functionnelle des petites articulations du rachis. Annales de Medicine physique 1972; 15: 173～191.

2. Zaccheo, D. and Reale, E. Contributoalla conoscenza delle articolazioni tra i processi articolari delle verterbe dell'uomo. Archivio di Anatomia 1956; 61: 1.

3. 颜昌义，曾昭荣，施宗尧. 腰椎后关节内“半月板样结构”，贵阳医学院学报 1990; 15: 178.

4. Engel, R. and Bogduk, N. The menisci of the lumber zygapophysial joints. J Anat 1982; 135: 795.

5. Lewin, T. et al. The mophology of the lumber synovial intervertebral joint. Acta Morphologia Neerlando-Sacndinavica 1962; 4: 299～319.